

Πρακτικά		Του Συνέδριου		Μάϊος 1986	
Δελτ. Ελλ. Γεωλ. Εταιρ.	Bull. Geol. Soc. Greece	Τομ.	XX/2 Vol.	σελ. 305-320 pag.	Αθήνα 1988 Athens

ΤΟ ΚΟΙΤΑΣΜΑ ΨΕΥΔΑΡΓΥΡΟΥ - ΑΡΓΥΡΟΥ - ΜΟΛΥΒΔΟΥ ΤΩΝ ΜΟΛΑΩΝ ΛΑΚΩΝΙΑΣ

K. ΑΓΓΕΛΟΠΟΥΛΟΣ*, Δ. ΚΩΝΣΤΑΝΤΙΝΙΔΗΣ*

ΣΥΝΟΨΗ

Το κοίτασμα Ζn-Ag-Pb των Μολάων βρίσκεται στο νομό Λακωνίας (Ν.Α. Πελοπόννησος, Σχ.2). Τα γεωλογικά και κοιτασματολογικά χαρακτηριστικά του μας οδηγούν στο σωμπέρασμα πως ανήκει στα στρωματόμορφα, ατμιδούδροθερμικά, υποθαλάσσια, ηφαιστειογενή κοιτάσματα.

Τα αποθέματα μεταλλεύματος που εντοπίσθηκαν μέχρι τώρα υπολογίζονται σε 4,5 εκατομμύρια τόνους με μέση περιεκτικότητα 9,88% Zn, 1,69% Pb και 55 γρ./τον. Ag. Η παραγωγήκε περίοδος του μεταλλείου υπολογιζόμενη με βάση αυτό το επόθεμα, αναμένεται να είναι της τάξης των 15 χρόνων.

Οι δραστηριότητες, που σχετίζονται με την εκμετάλλευση και τον εμπλούτισμό του μεταλλεύματος θα συνεισφέρουν στη βιομηχανική και γενικά περιφερειακή ανάπτυξη αυτής της κύρια αγροτικής περιοχής.

ABSTRACT

The Molai Zn-Ag-Pb deposit is situated in the Lakonia county, S.E. Peloponnes (Fig.2). Its geological and ore features led us to the conclusion that it belongs to the stratiform, exhalative, sub-marine, volcanogenic deposits.

The hitherto ore reserves reach 4,5 million tonnes with a mean grade of 9,88% Zn, 1,69% Pb and 55 gr/ton Ag. The production period of the mine estimated on the basis of these reserves is expected to be in the order of 15 years.

The mining and ore dressing plant activities will contribute to the industrial and overall regional development of this predominantly agricultural area.

A. ΕΙΣΑΓΩΓΗ

Οι μεταλλοφόρες εμφανίσεις της περιοχής των Μολάων Λακωνίας προκάλεσαν στο παρελθόν το ενδιαφέρον των μεταλλευτών από τη μία και των γεωλόγων-ερευνητών από την άλλη.

Η πραγματοποίηση των πρώτων μεταλλευτικών εργασιών (Γεωργιάδης κ.ά.), στις Θέσεις Αγ. Ευστράτιος και Κοτσαλέϊκα, τοποθετείται γύρω στο 1936, ενώ οι Ντιάφας-Κανακάκης επεκτείνουν την δραστηριότητα αυτή (1951) στη Γκαγκανιά και Βίγλα (Σχ.1). Από την Α.Ε.Ε.Χ.Π & Λ. (Συγκρότημα Μποδοσάκη) υλοποιείται αργότερα μικρό ερευνητικό έργο στη Θέση Βλαχανδρέας. Οι κυριότερες από τις εργασίες είναι αμβλή πηγάδια και μικρές διευθυντικές στοές. Το 1972 η Καναδική Εταιρία DRESSER I.N.C. εκτελεί, για λογαριασμό των τότε μεταλλεικτηών, σε διάφορες θέσεις, γεωψυκική έρευνα και γεωτρήσεις.

Οι διακοπές των πιό πάνω έργων ήταν, κατά την άποψή μας, αποτέλεσμα τεχνικής γενικά φύσης προβλημάτων (δύσκολες συνθήκες διάνοιξης υπογείων εργασιών, θέματα εμπλουτισμού) και λανθασμένης ερμηνείας των κοιτασματολογικών δεδομένων (κατάταξη π.χ. των εμφανίσεων στη φλεβικού τύπου μεταλλοφορία).

Με τη γεωλογία και κοιτασματολογία της περιοχής ασχολήθηκαν, κατά καιρούς, διάφοροι ερευνητές, μεταξύ των οποίων αναφέρουμε τους : Αναστόπουλο, & Παπανικολάου (1958), Gruszczynski, Ilaranczyk & Ηελιδώνη (1970), Αγγελόπουλο κ.ά. (1977), Μελιδώνη & Κωνσταντινίδη (1979), Σκαρπέλη (1982), Brauer (1982), Κωνσταντινίδου-Βαρθολομαίου (1984), Παπαζέτη (1984), Παπασπύρου (1984), Καλογερόπουλο κ.ά. (1984), Γρόσσου-Βαλτά (1984), Ηλία (1985) και Κωνσταντινίδη & Παπασταύρου (1985).

Το Ι.Γ.Μ.Ε. εφάρμισε από το 1976 ένα ολοκληρωμένο ερευνητικό πρόγραμμα αποκρύφωμα του οποίου ήταν η οικονομοτεχνική προμελέτη για τη δυνατότητα

* Κώστιας Αγγελόπουλος, Κοιτασματολόγος Ι.Γ.Μ.Ε.

* Δημήτρης Κ. Κωνσταντινίδης, Δρ. Κοιτασματολόγος Ι.Γ.Μ.Ε.

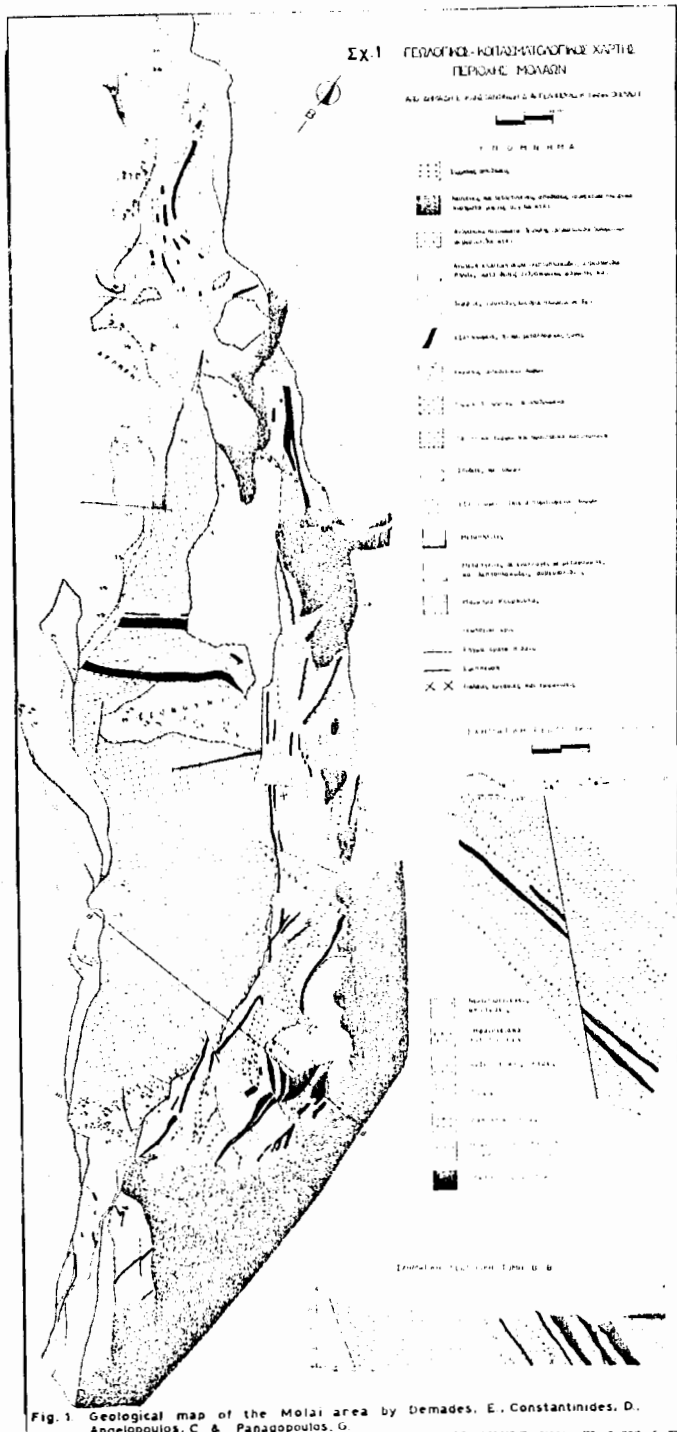


Fig. 1. Geological map of the Molai area by Demades, E., Constantinides, D., Angelopoulos, C. & Papagopoulos, G.

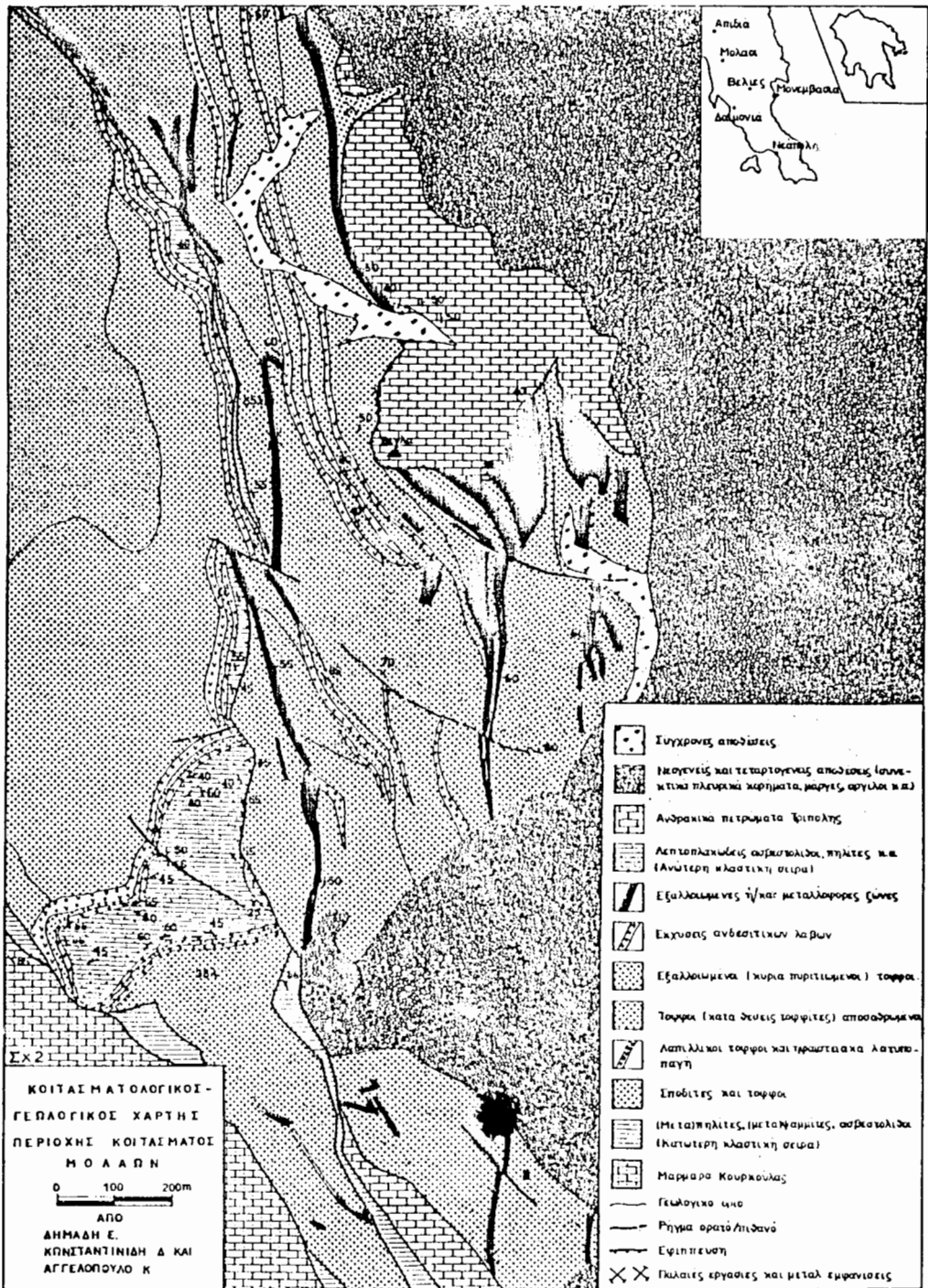


Fig 2 Geological map of the Molaa deposit area by Demades E., Constantindes, D. & Angelopoulos, C.

εκμετάλλευσης του κοιτάσματος που εκπονήθηκε το 1985 με θετικά, για το σημερινό γνωστικό επίπεδο, αποτελέσματα.

B. ΓΕΩΛΟΓΙΑ

Στη δομή της στενής περιοχής του κοιτάσματος των Μολάων μετέχουν σχηματισμοί που ανήκουν στη ζώνη Τρίπολης και συγκεκριμένα εκείνοι των Στρωμάτων Τυρού και της Ανθρακικής της σειράς (Σχ. 1-2). Πάνω σ' αυτούς έχουν αποτεθεί ιζήματα πλειο-πλειστοκαϊνικής και ολοκαϊνικής ηλικίας.

1. Στρώματα Τυρού

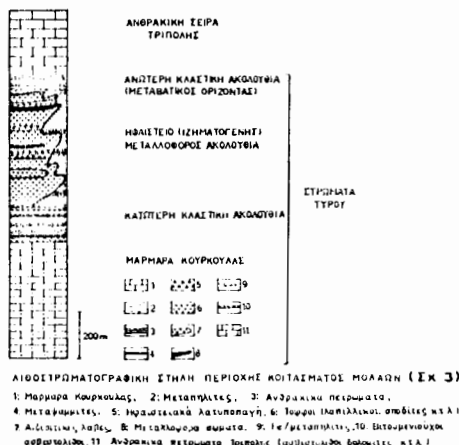
Ο όρος Στρώματα Τυρού (Κτενάς, 1926) αναφέρεται στο σύνολο των ιζηματογενών (κλαστικών-ανθρακικών) και ηφαιστειακών πετρωμάτων, που βρίσκονται κάτω από την Ανθρακική σειρά της ζώνης Τρίπολης.

Ο Σκαρπέλης (1982) διακρίνει στα Στρώματα Τυρού δύο σειρές : μία κλαστική νεοπαλαιοζωικής και μία ηφαιστειο-ιζηματογενή τριαδικής ηλικίας. Σε δύο, τι αφορά τη μεταμόρφωση, που τοποθετείται στο δριο Ηωκαίνου-Ολιγοκαίνου, ο ίδιος συγγραφέας δέχεται, με βάση ορυκτολογικά αθροίσματα στα ηφαιστειακά πετρώματα, θερμοκρασία $320-350^{\circ}\text{C}$ και πίεση της τάξης των 2kb.

Αναφορικά με τη σχέση των Στρωμάτων Τυρού προς την Ανθρακική σειρά της Τρίπολης και σύμφωνα με παρατηρήσεις μας, που έγιναν σε πολυάριθμες θέσεις επαφών των δύο αυτών ενοτήτων, καταλήγουμε στο συμπέρασμα πως η αρχική τους θέση ήταν κανονική.

1.1. Η λιθοστρωματογραφία των Στρωμάτων Τυρού στην περιοχή του κοιτάσματος.

Με βάση τη γεωλογική-κοιτασματολογική χαρτογράφηση σε κλ. 1:5.000 (Σχ. 1-2) διακρίνουμε στην περιοχή του κοιτάσματος την παρακάτω λιθοστρωματογραφική ανάπτυξη των Στρωμάτων Τυρού (Σχ. 3).



τη θέση της ως πρός την Ηφαιστειο(ιζηματογενή) μεταλλοφόρο σειρά (Η διάκριση αυτή δίνεται για την περιοχή του κοιτάσματος, γίνεται δε για πρακτικούς λόγους, που έχουν σχέση με την έρευνα εντοπισμού των μεταλλοφόρων σωμάτων). Το πάχος της κυμαίνεται από 150 μέχρι 200 μέτρα. Συνίσταται κύρια από μεταπλίτες και μεταφαμμίτες με ενστρώσεις λεπτοπλακώδων μαργαϊκών ασβεστολίθων. Η ακολουθία αυτή στερείται οποιουδήποτε κοιτασματολογικού ενδιαφέροντος για το λόγο ότι μέσα στα πετρώματα της δεν παρατηρείται καμια ηφαιστειακή μεταλλοφόρος υδροθερμική εκδήλωση.

Η Ηφαιστειο(ιζηματογενής) μεταλλοφόρος σειρά χαρακτηρίζεται από τη μεγάλη συμμετοχή των ηφαιστειών (80% περίπου του συνόλου των πετρωμάτων) και το γενονός πως αποτελεί το ζενιστή των μεταλλοφόρων σωμάτων. Οι ηφαιστείτες διαφορίζονται σε δύο κατηγορίες πετρωμάτων : τις τυπικές ηφαιστειακές εκχύσεις (λάβες) και τα πυροκλαστικά.

Τα πυροκλαστικά παρουσιάζουν μεγάλη ποικιλία, ανάλογα με το ιιέγγεος, των συστατικών τους (Σχ.2). Έτσι, διακρίνουμε σποδίτες, τόφρους, λαπιλλικούς τόφρους και ηφαιστειακά λατυποπαγή. Σημειώνεται η παρουσία στους τόφρους, επικλαστών από προϋπάρχοντα ηφαιστειακά και ιζηματογενή πετρώματα. Σε πολλές περιπτώσεις εντοπίστηκαν επικλάστες που φέρουν παλιότερης φάσης μεταλλικά ορυκτά (σιδηροπυρίτη-σφαλερίτη).

Οι λάβες χαρακτηρίζονται από μιά μικρή σχετικά κλίμακα διαφορισμού. Πρόκειται για ασβεσταλακαλικά πετρώματα ανδεσιτικής μέχρι βασαλτοανδεσιτικής σύστασης (Μελιδώνης & Κωνσταντινίδης-1979, Σκαρπέλης-1982) με σπιλιτική τάση. Σε ό,τι αφορά τον ίστο τους, επικρατεί ο αφανιτικός, ενώ σπάνια εμφανίζεται και πορφυριτικός με φαινοκρύσταλλους πλαγιοκλάστων. Η υψή τους παρουσιάζει μεγάλη ποικιλία (συμπαγής, πορώδης, κισσηρώδης κ.α.). Λεπτομερής περιγραφή των ηφαιστειακών πετρωμάτων της περιοχής των Μολάων δίδεται από την Παπαζέτη, Ε.(1984).

Εκτός από τους παραπάνω ηφαιστείτες, εντοπίστηκαν διαστρώσεις εοφυιτών-τοφφιτικών μεταπληλιτών, ή κύρια ανάπτυξη των οποίων παρατηρείται στα ανώτερα τμήματα της Ηφαιστειο(ιζηματογενούς) σειράς. Οι πιό τυπικοί αντιπρόσωποι τους είναι οι ερυθροί τοφφιτικοί μεταπληλίτες, βασικό συστατικό των οποίων είναι ο αιματίτης.

Από τα καθαρά ιζήματα τη μεγαλύτερη εξάπλικη έχουν οι μεταπληλίτες (μέχρι ψαμμιτικοί μεταπληλίτες, κατά Θέσεις). Σημειώνεται η παρουσία παρεμβολών δολομιτικών - βιτουμεντούχων ασβεστολίθων.

Η Ανώτερη κλαστική ακολουθία (Ηεταβατικοί ορίζοντες) των Στρωμάτων Τυρού χαρακτηρίζεται από την ιδιαιτερά έντονη τεκτονική καταπόνηση των στρωμάτων τους (Σχ.4), που ερμηνεύεται οαν το αποτέλεσμα της πιγιά σιγενούς τεκτονικής, αλλά και εφαπτομενικών δυνάμεων στις οποίες οφείλεται και η εφίππευση της υπερκείμενης Ανθρακικής σειράς. Οι κυρίαρχοι πετρολογικοί τύποι της Ακολουθίας αυτής είναι οι πηλίτες, οι οποίοι σε αρκετές θέσεις φέρουν εναλλαγές ανθρακοιτιγών αργίλων και λεπτοπλακώδων-μεσοπλακώδων μαργαϊκών ασβεστολίθων. Με σαφώς μικρότερα πουσσάτα αντιπροσωπεύονται οι ψαμμίτες, μάργανες και ιλυόλιθοι. Στη Θέση Μεσοβούνη, όπου παρατηρείται η κανονική μετάβαση των Στρωμάτων Τυρού πρός την Ανθρακική Σειρά της Τρίπολης, εμφανίζονται, σε σχετικά μεγάλο ποσοτό, δολομιτικοί-βιτουμεντούχοι ασβεστολίθοι. Τονίζεται πως οι την Ανώτερη κλαστική ακολουθία εντοπίζονται ακόμα ορισμένες διεισδύσεις ηφαιστειών (λαβών και τόφρων), αλλά στερείται οποιασδήποτε μεταλλοφορίας.

Σε ό,τι αφορά την ηλικία των σχηματισμών που φιλοξενούν τα μεταλλοφόρα σώματα, αλλά και εκείνων της Κατώτερης και Ανώτερης κλαστικής ακολουθίας, διαπιστώθηκε (Ittner-1979 και Thiebaut & Kozur-1979 in Brauer-1982) ότι είναι ανωτριαστική (Κάρνιο).

2. Ανθρακική σειρά Τρίπολης

Στην στενή περιοχή του κοιτάσματος των Μολάων η Ανθρακική σειρά Τρίπολης αντιπροσωπεύεται από τα κατώτερα της μέλη, δηλαδή από τεφρούς μέχρι σκοτεινότερφρους, συνήθως συμπαγείς δολομιτικούς ασβεστολίθους. Το

πάχος τους, που ανέρχεται στα 500 μέτρα περίπου, έχει ιδιαίτερη σημασία για την εκμετάλλευσιμότητα των μεταλλευμάτων που εντοπίζονται κάτω απ' αυτούς (π.χ. γεωτρήσεις ΒΓ10, ΒΓ8 και Β47). Η ηλικία τους, κατά Εξηνταβελώνη-Τακτικό (1984), είναι μέσο-ανωτριαδική, γεγονός που βρίσκεται σε αντίθεση με όσα προαναφέραμε σχετικά με την ηλικία των ανώτερων οριζόντων των Στρωμάτων Τυρού.

3. ΤΕΚΤΟΝΙΚΗ

Στην υπό μελέτη περιοχή εντοπίστηκαν τεκτονικοί ίστοι πτυχωσιγενείς και ρηξιγενείς που, σύμφωνα με τις ηλικίες των σχηματισμών που προαναφέραμε, ανήκουν στον κύκλο της Αλπικής Ορογένεσης. Και οι δύο τύποι τεκτονικών φαινομένων διακρίνονται περαιτέρω σε πρωτογενείς (που σχηματίστηκαν κατά τη διάρκεια της γένεσης των Ιζηματογενών ή μαγιατικών πετρωμάτων) και δευτερογενείς (που δημιουργήθηκαν σε προϋπάρχοντα πετρώματα).

Έτσι, κατά την Ιζηματογένεση (αλλά και μεταλλογένεση) παρατηρήθηκε η δημιουργία κάμψεων, πτυχών λόγω βαρύτητας, συμπίεσης ή διαγένεσης, ρήγματα ουνιζηματογενή και slumping (τα τελευταία είναι ιδιαίτερα χαρακτηριστικά στα μεταλλοφόρα τμήματα).

Τα συνιζηματογενή ρήγματα ερμηνεύονται οαν γενεσιούργα τόσο της ηφαιστειότητας, όσο και της μεταλλογένεσης και φαίνεται να αποτελούν επαναδραστηριοπόνηση παλιότερων ρηγμάτων ΒΔ-ΝΑ και ΒΑ-ΝΔ διευθύνσεων όπως αυτό προκύπτει (i) από την τεκτονική ανάλυση εικόνων Landsat (Meibner-1979), (ii) την ερμηνεία αερομαγνητικών χαρτών της περιοχής (Αντ. Αγγελόπουλος, προφορική πληροφόρηση) και (iii) βιβλιογραφικά δεδομένα (π.χ. Μελιδώνης & Κωνσταντινίδης-1979, Παπασύρου-1984, Δούτσος & Κουκουβέλας-1985).

Περιγραφή των κύριων συστημάτων πτυχών δίδεται από τους Δούτσο-Κουκουβέλα-1985 σε εργασία που έγινε με χρηματοδότηση του Ι.Γ.Μ.Ε.

Οι δικές μας παρατηρήσεις αφορούν αποκλειστικά τη διαφοροποίηση στην εκδήλωση των ιτυχωσιγενών ή ρηξιγενών ίστων στην Κατώτερη και Ανώτερη κλαστική ακολουθία από τη μιά και κύρια στη μεταλλοφόρο ηφαιστειακή από την άλλη (Φωτ. 1). Έτσι, ει δύο κλαστικές ακολουθίες χαρακτηρίζονται από την παρουσία δύο συστημάτων πτυχών διαφορετικών μορφών, μεγέθους και ηλικίας (Σχ. 4) που οφείλονται στη συμπεριφορά των σχηματισμών τους στις παραμορφωτικές δυνάμεις που επιδρούν πάνω σ' αυτούς, με κύριο παράγοντα την πλαστικότητά τους (Αγγελόπουλος κ.ά.-1977). Ο Παπασύρου (1984) καταλήγει στο συμπέρασμα πως ανάλογα φανόμενα παρατηρούνται και μέσα στα καθερώς ηφαιστειακά πετρώματα, με αποτέλεσμα να δέχεται και πτύχωση των μεταλλοφόρων ζωνών (ισοκλινείς πτυχές).

Λεπτομερείς, ωστόσο, παρατηρήσεις μας σε μεταλλοφόρες και μη εμφανίσεις μας πείθουν πως στους συμπαγείς (σε σχέση με τα πετρώματα των κλαστικών ακολουθιών) ηφαιστίτες η παρουσία πτυχών είναι σπάνια, ενώ επαναλαμβάνεται το φαινόμενο της ύπαρξης τεκτονικών ασυνεχειών, οι επιφάνειες των οποίων κλίνουν, όπως και τα μεταλλοφόρα σώματα προς Α, αλλά με μεγαλύτερη γωνία. Η ανάπτυξη των πιο πάνω ρηγμάτων και λεπτώσεων έχει σαν συνέπεια τις μετατοπίσεις των μεταλλοφόρων συγκεντρώσεων (Σχ. 1, τομή Α-Α') και τις αυξομειώσεις του πάχους τους. Το τεκτονικό αυτό στοιχείο επιβεβαιώνεται και από μελέτη λεπτών τομών, όπου παρατηρούνται σαφώς δύο φυλλοδομές : μια παλιότερη, παράλληλη περίπου προς τη στρώση των τόφων και μια νέωτερη που σχηματίζει γωνία 15-35° με την πρώτη.

Σημαντικό, επίσης δεδομένο για την προσεχή εκμετάλλευση είναι και η παρουσία γεώτερων της μεταλλοφορίας ρηγμάτων Α-Δ μέχρι Α.ΝΔ-Δ.ΒΔ διευθύνσεων που είναι εικανή στο γεωλογικό-κοιτασματολογικό χάρτη (Σχ. 2). Η γεωφυσική, εξ άλλου, διασκόπηση δχι μόνον επαληθεύει την ύπαρξη τους, αλλά και εντοπίζει και άλλες μη ορατές στην παρατηρηση ρηξιγενείς γραμμές (Αντ. Αγγελόπουλος, προφορική πληροφόρηση).

Αναφέρεται, τέλος, ότι παρά την κανονική μετάβαση από την Ανώτερη κλαστική σειρά στα ανθρακικά πετρώματα της ζώνης Τρίπολης (που παρατηρείται σε πολλές θέσεις της Νότιας Βιβλιοθήκης Θεοφάνειας Τημαχίας Αιγαίου Πατρών) τελευταίας είναι εφιππευμένοι πάνω στα Στρώματα Τυρού (Σχ. 1-2, 4b).

Σχ 4

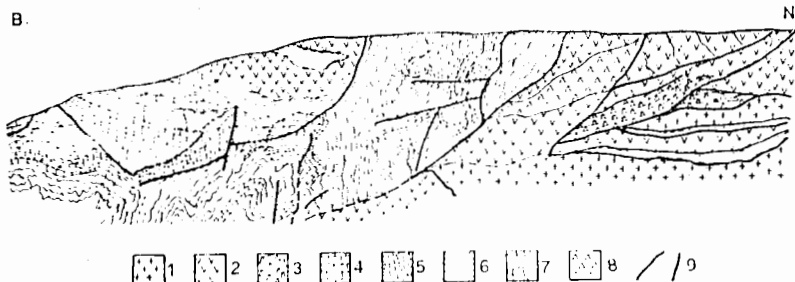
ΣΧΗΜΑΤΙΚΕΣ ΓΕΩΛΟΓΙΚΕΣ ΤΟΜΕΣ ΑΝΩΤΕΡΗΣ ΚΛΑΣΤΙΚΗΣ ΑΚΟΛΟΥΘΙΑΣ ΣΤΡΩΜΑΤΩΝ ΤΥΡΟΥ

ΑΠΟ . Δ ΚΩΝΣΤΑΝΤΙΝΙΔΗ



α) Τοποθεσία "Οχτος".

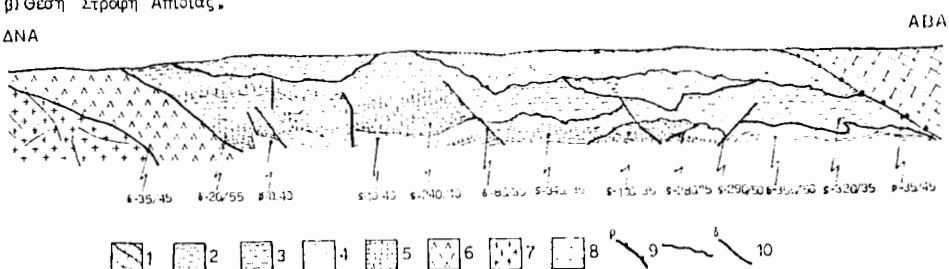
B.



1-συμπαγής λάβα (ανδεσίτης), 2-τόφφοι, 3-σχιστοισομέναι τόφφοι, 4-μεσοπλακώδεις ασβεστόλιθοι, 5-λεπτοπλακώδεις ασβεστόλιθοι, 6-πηλιτικά πετρώματα, 7-πηλίτες σε εναλλαγές με ανδρακομιγείς αργίλους και λεπτοπλακώδεις ασβεστολίθους, έντονα τεκτονικά καταπονημένοι, 8- μυλονιτοποιημένες ανδεσιτικές λάβες, 9- τεκτονικές επαιφέρες.

β) Θεση "Στρωφή Απιδιάς".

ΔΝΑ



1-ασβεστόλιθοι ζώνης Τρίπολης, 2-έντονα τεκτονικά καταπονημένη ζώνη (επιχράτηση ανδρακικού υλικού), 3-πηλίτες με λεπτές ενστρώσεις μαργαϊκών ασβεστολίθων, 4-πηλιτικά στρώματα, 5-λεπτοπλακώδεις ασβεστόλιθοι, 6-μυλονιτοποιημένη ανδεσιτική λάβα, 7-ανδεσιτική λάβα συμπαγής με φλεβίδια χαλαζία και αμυγδαλόλιθους από χαλαζία, χλωρίτη και, 8-χαλαζιακοί φαμμίτες, 9-εφίππευση, 10- άλλες τεκτονικές επαιφέρες.

Fig. 4. Schematic geological sections of the Upper clastic sequence of the "Tyros beds" by Constantinides, D.

Γ. ΚΟΙΤΑΣΜΑΤΟΛΟΓΙΑ

Ο εντοπισμός του κοιτάσματος των Μολάων ήταν αποτέλεσμα συστηματικής έρευνας με συμμετοχή πολλών γεωεπιστημονικών ειδικοτήτων. Στο κεφάλαιο αυτό θα περιοριστούμε στα καθαρά κοιτασματολογικά στοιχεία και στα προβλήματα για τα οποία αναζητείται ακόμα η λύση τους.

1. Πετρώματα-ξενιστές των μεταλλοφόρων σωμάτων

Τα πετρώματα που φιλοξενούν τις μεταλλικές συγκεντρώσεις είναι ηφαιστίτες ανδεσιτικής σύστασης και συγκεκριμένα τα πυροκλαστικά μέλη τους. Οι κύριοι ξενιστές τους είναι οι σποδίτες και διάφοροι τύποι τόφφων. Αρκετά συχνά, επίσης, το μετάλλευμα βρίσκεται μέσα σε ηφαιστειακά λατυποπαγή με κλάστες από ανδεσίτες, τόφφους, ιζήματα κ.τ.λ., και τοφφική συγκολλητική ύλη. Τέλος, περιγράφονται (Παπαζέτη-1984) μεταλλοφόρες συγκεντρώσεις συνδεδεμένες με τοφφίτες.

Χαρακτηριστικό γνώρισμα της Ηφαιστειο(Ιζηματογενούς) μεταλλοφόρου ακολουθίας είναι οι συχνές εναλλαγές των έκχυτων πετρωμάτων με τα ηφαιστειακά λατυποπαγή και τα υπόλοιπα πυροκλαστικά υλικά, όπως αυτό προκύπτει από σειρά γεωλογικών τομών που κατασκευάστηκαν με βάση την περιγραφή των πυρήνων των γεωτρήσεων (Σχ. 1, τομές Α-Α', Β-Β').

2. Εξαλλοιώσεις

Η άμεση σύνδεση των μεταλλοφόρων σωμάτων με ζώνες εξαλλοίωσης αποτέλεσε ένα από τα καθοδηγητικά ερευνητικά κριτήρια που χρησιμοποιήθηκαν για τον εντοπισμό τους.

Η πυριτίωση, σερικιτίωση και σε μικρότερο βαθμό η χλωριτίωση αποτελούν τους πιο χαρακτηριστικούς τύπους εξαλλοίωσης που συνδέονται με τη μεταλλοφορία καὶ που είναι αρκετά κοινές (Pliimier-1985) στις ιεριτιώσεις επίδρασης θερμών διαλυμάτων, εμπλουτισμένων με CO_2 , πάνω σε αστράιους. Σε περιοχές που στερούνται μεταλλοφορίας έχουν περιγραφεί, επίσης, επιδοτιτίωση, προπυλιτίωση, χλωριτίωση κ.ά. (Μελιδώνης & Κωνσταντινόπης-1979, Σκαρπέλης-1982).

Το αποτέλεσμα των πιο πάνω χημικών μεταλλαγών στις μεταλλοφόρες ζώνες είναι η δραστική αύξηση του K_2O και SiO_2 , η εικόνη μεγάλη λιείωση του Na_2O και η σχετική ελάττωση του CaO και $\text{Fe}_2\text{O}_3\text{.O}_2\text{.O}$. Πίν. 1 που ακολουθεί δείχνει τη διαφοροποίηση των εξαλλοιωμένων τόφφων της περιοχής Βίγλας από τις συνήθεις τηλέσεις των τυπικών ανδεσιτών.

Πίνακας 1

	\bar{x} ανδ.*	\bar{x} εξαλλ.τόφφων**
K_2O	1.67	9.62
Na_2O	3.54	0.89
CaO	6.87	3.46
Fe_2O_3 ολ.	7.55	4.8

* Fisher-Schmincke
(1984)

** Ηλίας (1985)

Φαίνεται, εξάλλου, πως ο δείκτης εξαλλοίωσης $R' = \frac{\text{K}_2\text{O} \cdot 100}{\text{K}_2\text{O} + \text{Na}_2\text{O}}$, που προτάθηκε από τους Καλογερόπουλο κ.ά. (1984), μπορεί να εφαρμοστεί με επιτυχία σαν καθοδηγητικός παράγοντας στην εφαρμοσιένη έρευνα. Ο Ηλίας (1985) αποδεικνύει, τέλος, πως και ο R' προσδιορίζει σαφώς τις μεταλλοφόρες ζώνες και μπορεί να θεωρηθεί, σε συνδυασμό με τα υπόλοιπα, σαν σημαντικός δείκτης.

Οι εξαλλοιωμένες ζώνες παρουσιάζονται με πάχος από λίγα μέτρα μέχρι και λίγες δεκάδες μέτρα, ενώ το μήκος τους ανέρχεται σε εκατοντάδες μέτρα. Ορισμένα προβλήματα κατά τη διάρκεια της χαρτογράφησης δημιουργούν οι ζώνες αποσάθρωσης κατά μήκος ρηγιγενών γραμμών που μοιάζουν καταπληκτικά με τις ζώνες εξαλλοίωσης. Η εφαρμογή των δεικτών που προαναφέραμε και τις μεταλλομετρίας προσφέρει, ωστόσο, μια λύση για τη διάκρισή τους.

Η ζώνωση των εξαλλοιώσεων αποτελεί ανοικτό ακόμα πρόβλημα. Ο Σκαρπέλης (1982) αναφέρει πως δεν παρατηρείται, γεγονός που αποδίδει στην επίδραση της καθολικής μεταμόρφωσης του Ολιγοκαίνου-Μειοκαίνου, "που τροποποιήσει τις υδροθερμικές παραγενέσεις". Πρέπει, ωστόσο, να αναφέρουμε τη σαφή τάση αύξησης του βαθμού πυριτίωσης προς το κέντρο των μεταλλοφόρων ζωνών.

3. Ορυκτολογική σύσταση του μεταλλεύματος και ιστοί

Οι μακρο- και μικροσκοπικές μας παρατηρήσεις κύρια για τους ιστούς του

μεταλλεύματος (λεπτομερής μελέτη για την ορυκτολογική σύσταση έγινε από την Κωνσταντινίδου-Βαρθολομαίου, 1984) από πυρήνες των γεωτρήσεων μας οδηγούν στα παρακάτω συνοπτικά συμπεράσματα.

Μέσα στις εξαλλοιωμένες ζώνες κατ' αρχή δημιουργούνται απομονωμένα άτομα σιδηροπυρίτη (συχνά σφαλερείδη-framboidal) που διατάσσονται σε κυματοειδή "κομπολόγια" (ταινίες) παράλληλα προς τη στρώση των τόφων που τα φιλοξενούν (Φωτ.8). Στις ταινίες συμμετέχει λεπτόκοκκος σφαλερίτης, γκριζοκιτρινωπό χρώματος και ελάχιστοι κρύσταλλοι γαληνίτη. Ο τύπος αυτός συμπίπτει προφανώς με εκείνον που η Κων/νίδου-Βαρθολομαίου (1984) χαρακτηρίζει σαν διάσπαρτο.

Με την αύξηση του σφαλερίτη και σιδηροπυρίτη σε βάρος των πετρογενετικών και παραγενετικών ορυκτών (χαλαζία-βαρύτη) το μετάλλευμα μεταπίπτει σε συμπαγές, όπου ο σφαλερίτης δημιουργεί στρωματόμορφες συγκεντρώσεις (Φωτ.5-6) πάχους αρκετών cm μέχρι και αρκετών δεκάδων cm. Στις περισσότερες περιπτώσεις το ποσοστό του γαληνίτη εξακολουθεί να είναι χαμηλό μέχρι πολύ χαμηλό.

Στα δείγματα από πυρήνες των γεωτρήσεων παρατηρούνται κυματοειδείς και άλλοι ιστοί που επιβεβαιώνουν τη δημιουργία σιλιπρίνγκ λόγω βαρύτητας της "μεταλλοφόρου λάσπης" πριν από τη διαγένεση (Φωτ. 4). Πέρα από τα φαινόμενα σιλιπρίνγκ εμφανίζονται μικρές μετατοπίσεις (cm-dm) του μεταλλεύματος διαγενετικού χαρακτήρα (Φωτ. 3-4). Στα διάκενα των διακλάσεων άλλα και σε άλλους χώρους, συγκεντρώνονται, προφανώς σε δεύτερη φάση, παραγενετικά (χαλαζίας, βαρύτης, ανθρακικά) και θειούχα ορυκτά που αποτελούνται από ευμεγέθεις κρυστάλλους ανοικτο-καστανόχρωμου σφαλερίτη, σιδηροπυρίτη και σε ορισμένες θέσεις γαληνίτη. Πρόκειται για ανακρυσταλλωμένο-επανακινητοποιημένο μετάλλευμα. Για τους συντάκτες της παρούσης παραμένει ερωτηματικό αν σαυτή τη δεύτερη φάση συμπεριλαμβάνεται και ο χαλκοπυρίτης ή ανήκει σε μια ακόμη νεώτερη γενιά.

Ιδιαίτερη μνεία οφείλει να γίνει και στον κλαστικό τύπο μεταλλεύματος που παρατηρείται σε όλες τις κλίμακες (από μικροσκοπική μέχρι και εκείνη του μεταλλοφόρου σώματος). Πρόκειται για λεπτόκοκκο, γκριζο-κιτρινωπό σφαλερίτη με θραύσματα από προϋπάρχον μετάλλευμα, τόφους, ιζήματα και παραγενετικά ορυκτά (Φωτ. 7, 9). Άλλα σημαντικά χαρακτηριστικά του είναι το μεγάλο, συνήθως, πορώδες και η βαθμιαία (κατά θέσεις) στρώση (graded bedding).

Στην εργασία της Κωνσταντινίδου-Βαρθολομαίου (1984) δίνονται σαν κύρια μεταλλικά ορυκτά τα σφαλερίτης, σιδηροπυρίτης και γαληνίτης σαν δευτερεύοντα μέχρι επουσιώδη τα τετραεδρίτης, τεναντίτης, αιματίτης, χαλκοπυρίτης, μαγνητοπυρίτης, φρεύμπεργκίτης, αρσενοπυρίτης, ακανθίτης, αργεντίτης, βορνίτης και αυτοψής. Συνέπεια το τέλος, σαν υπεργενετικά τα σιμιθσονίτης, κερουσίτης, λειμωνίτης, κοβελλίνης, νεοδιγενίτης και χαλκοίνης.

4. Γεωμετρία του κοιτάσματος

Τα μεταλλοφόρα σώματα που αναπτύσσονται σαν στρωματοειδείς συγκεντρώσεις ανέρχονται σε επτά και κατανέμονται, προς το παρόν, σε τρεις ζώνες (την υπερδυτική με ένα μεταλλοφόρο σώμα, τη δυτική με τέσσερα και την ανατολική με δύο). Τις τελευταίες μέρες (Μάρτιος 1986) εντοπίστηκε ακόμα ένα μεταλλοφόρο σώμα στη θέση Μεσοβαύντι (Σχ. 1). Εκτός αγόρη την τελευταία, οι υπόλοιπες έχουν γενική διεύθυνση B-N και μέση κλίση 60° προς Α. Το πάχος τους κυμαίνεται από λίγα cm μέχρι μερικά m (οικονομικά εκμεταλλεύσιμες θεωρούνται μόνο εκείνες με πάχος >1 m).

Η μορφή και ανάπτυξη, ο χαρακτήρας των εξαλλοιώσεων και το περιεχόμενο του μεταλλεύματος των επί μέρους ζωνών, μακροσκοπικά τουλάχιστον, δεν διαφέρουν. Σύμφωνα με τα νεώτερα στοιχεία, που αναφέρουμε στο κεφάλαιο για την τεκτονική, η επανάληψη των ζωνών λόγω ύπαρξης λοσκολινών πτυχών έχει αποκλειστεί. Κατά συνέπεια η λογική ερμηνεία που μπορούμε, προς το παρόν, να δεχτούμε είναι πώς είτε πρόκειται για επαναλαμβανόμενη μεταλλογενετική διαδικασία, είτε σε ορισμένες περιπτώσεις αποτέλεσμα των λεπιώσεων/ρηγμάτων.

5. Ανάλυση της χωρικής κατανομής των στοιχείων Zn, Ag, Pb, Cd, Fe και Ba του κοιτάσματος.

Με τη χρήση του προγράμματος "computer package BECES" (Christakos, 1980) άρχισε από τους Γ. Χριστάκο - Ε. Παντελιά και τους συντάκτες της παρούσης η μελέτη ενός μοντέλου περιγραφής και ερμηνείας της χωρικής κατανομής των στοιχείων Zn, Ag, Pb, Cd, Fe και Ba του κοιτάσματος. Μέχρι στιγμής υπάρχουν μόνο πρόδρομα αποτελέσματα που αφορούν την κατανομή των πιο πάνω στοιχείων της υπόζωνης Β (προβολή στο οριζόντιο επίπεδο των περιεκτικοτήτων με βάση τις χημικές αναλύσεις των μεταλλοφόρων τμημάτων των γεωτρήσεων) (Σχ. 5).

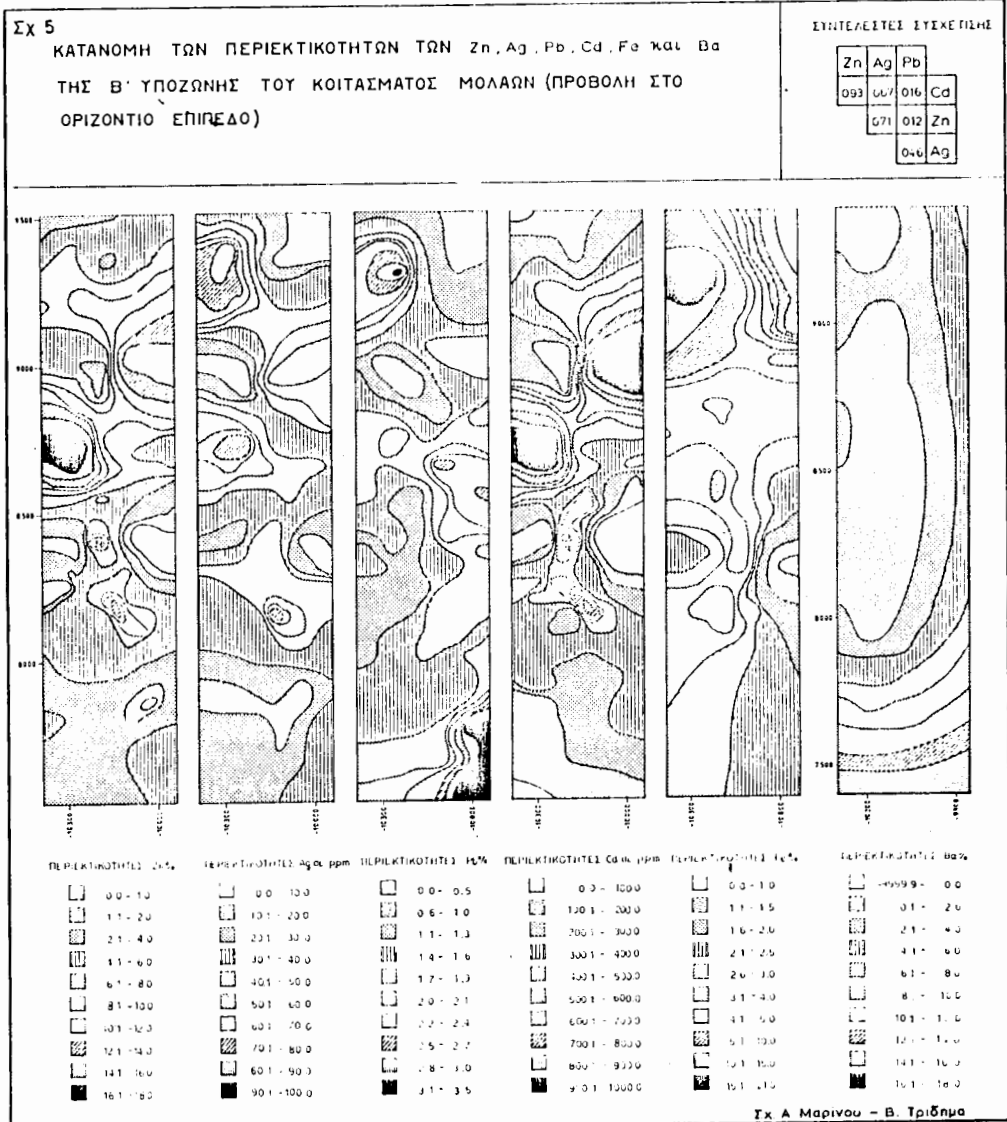


Fig.5 : A horizontal projection of element distribution (Zn, Ag, Pb, Cd, Fe and Ba) in the Molai deposit B' subzone.

Ψηφιακή Βιβλιοθήκη "Θεόφραστος" - Τμήμα Γεωλογίας. Α.Π.Θ.

Παρατηρείται γενικά πως εικόνα ανισοκατανομής που εκφράζεται από συγκεντρώσεις ή ψηλές περιεκτικότητες σε ορισμένες θέσεις και διευθύνσεις και χαμηλές σε άλλες. Έτσι, ο Zn συγκεντρώνεται κύρια στο κεντρικό τμήμα της υποζώνης με πιωτικές τάσεις προς Β και Ν. Παρόμιοια είναι και η κατανομή του Cd με το οποίο ο Zn έχει το μεγαλύτερο συντελεστή συσχέτισης ($r=0,93$). Ο τελευταίος δικαιολογείται πλήρως από τη γνωστή γεωχημική σχέση ανάμεσα στον Zn και Cd (αμοιβαία αντικατάσταση). Αντίθετα, σχεδόν ανταγωνιστικές τάσεις εκδηλώνονται μεταξύ Zn και Pb , των οποίων ο r είναι μόλις 0,12.

Ιδιαίτερη εντεύπωση προκαλεί η σχετικά μεγάλη σύμπτωση της κατανομής του Ag σε σχέση με τον Zn ($r=0,71$) γεγονός που επιβεβαιώνεται και από τα αποτελέσματα των δοκιμών εμπλουτισμού, σύμφωνα με τα οποία το 50% του Ag εμφανίζεται στο συμπύκνωμα του Zn (Γρόσσου-Βαλτά, 1984). Επειδή τα περιορισμένα εγκλείσματα γαληνίτη, τετραεδρίτη και τεναντίτη στο σφαλερίτη δεν δικαιολογούνται πιο πάνω ποσοστό, το πρόβλημα μελετάται στα πλαίσια διεθνών συνεργασιών.

Η συγκέντρωση του Fe (που εκφράζεται εκείνη του σιδηροπυρίτη) είναι σαφώς μεγαλύτερη στο κεντρικό και BD τμήμα (Σχ. 5) παρά στο N και A . Οι ψηλές περιεκτικότητες του BD τομέα οφείλονται στην παρουσία συμπαγούς, ανακρυσταλλωμένου σιδηροπυρίτη.

Ιδιαίτερης σημασίας, τέλος, είναι η τάση αύξησης του Ba προς N , όπου αντίθετα έχουμε τις χαμηλές συγκεντρώσεις των κύρια χρήσιμων μετάλλων ($Zn-Ag$) και γενικότερα την αποσφήνωση του κοιτάσματος. Παρατηρούνται, επίσης, ενδείξεις για κάποια, ασαφή προς το παρόν, ανάλογη τάση προς το βάθος.

Η εικόνα της χωρικής κατανομής των στοιχείων θα αλοκληρωθεί με την επεξεργασία των δεδομένων από τις υπόλοιπες ζώνες και υποζώνες του κοιτάσματος.

6. Συνθήκες γένεσης του κοιτάσματος

Παρόλο που βρίσκονται σε εξέλιξη αρκετές εργαστηριακές εργασίες (ισοτοπικές αναλύσεις Pb , S , C , Ο.Κ.Α., μελέτη ρευστών εγκλεισμάτων, αναλύσεις υγροστοιχείων του μεταλλεύματος), οι μέχρι σήμερα γνώσεις μιας επιτρέπουν τη διατύπωση των κυριοτέρων κανόνων γένεσης του κοιτάσματος. Από το σύνολο των στοιχείων που παραθέσαμε προκύπτουν τα παρακάτω συμπεράσματα :

Το "αρχέγονο" μεταλλεύμα των Μολάων εναποτέθηκε μέσα σε υποθαλάσσιο περιβάλλον γεγονός που τεκμηριώνεται από τις συντζηματογενείς δομές που το χαρακτηρίζει. Είναι άμεσα συνδεδέμενό με την κυκλοφορία ατμισθούδροθερμικών διαλυμάτων στα οποία οφείλονται την ύπαρξή τους και οι εξαλοιώσεις που περιγράφονται. Η εναπόθεση του μεταλλεύματος μέσα σε σπύδιτες, τόφφους και τοφφίτες μαρτυρεί την ηφαιστειακή του προέλευση.

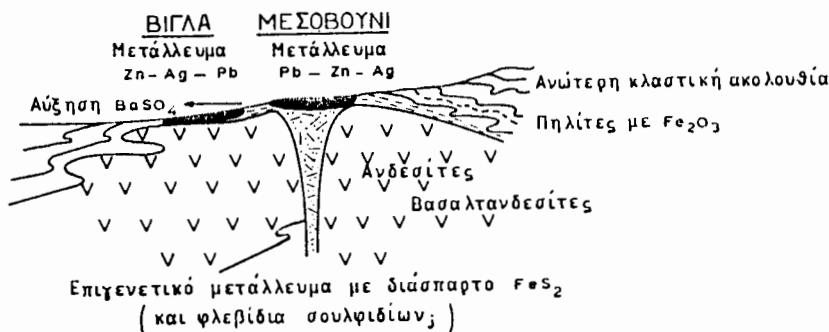
Η παρουσία του κλαστικού ιστού και ιδιαίτερα η διαφυροποίηση των κλαστών σε διαφορά την πρωτοιλιτική τους σύσταση εντοπίζεται την άποψή μας για μεταφορά και επαναπόθεση του μεταλλεύματος κατά τη διάρκεια ή λίγο αργότερα από το σχηματισμό του.

Η ύπαρξη ανακρυσταλλωμένου-επανακινητοποιημένου υλικού επιβεβαιώνει το γεγονός πως οι φάσεις δημιουργίας του μεταλλεύματος ήσαν τουλάχιστον δύο. Η απόρριψη της ύπαρξης πτυχιακών μεταλλοφόρων ζωνών μιας αναγκάζει να δεχτούμε πως η κοιτασματογενεσιούργη δραστηριότητα ολοκληρώθηκε μέσα σε ένα αρκετά ευρύ χρονικό διάστημα με επαναλαμβανόμενη κυκλοφορία μεταλλοφόρων υδροθερμικών διαλυμάτων.

Τα πρώτα συμπεράσματα από την ανάλυση της χωρικής κατανομής ορισμένων στοιχείων της B υποζώνης, σε συνδυασμό με τις υπαίθριες παρατηρήσεις, προδιαγράφουν μια σχετική ζώνωση των θειούχων και θειέκων ορυκτών, καιώς και των οξειδίων του Fe . Έτσι, η καταρχήν εικόνα που παίρνουμε είναι η προς N αύξηση του βαρύτη σε βάρος των σουλφιδίων και η παρουσία $Fe/oύχων$ οξειδίων (αιματίτη) σε ανώτερους, σε σχέση με το μεταλλεύμα, ορίζοντες τομφιτικών πιεταπλιτών. Αντίθετα, σε υποκείμενους της μεταλλοφόρίας χώρους (όπως εκείνος της Απιδιάς, Βλ. Μελιόνης & Κωνσταντινίδης - 1979) παρατηρούνται μόνο χαλκούχες συγκεντρώσεις. Η ζώνωση αυτή είναι χαρακτηριστική πολλών ηφαιστειογενών κοιτασμάτων (π.χ. Kuroko, Buchans, Bathurst, New Brunswick).

Ψηφιακή Βιβλιοθήκη "Θεόφραστος" - Τμήμα Γεωλογίας. Α.Π.Θ.

Σειρά στοιχείων που αναφέραμε τόσο στα προηγούμενα κεφάλαια, όσο και στο παρόν, είναι τυπικά για κοιτάσματα τύπου Kuroko, χωρίς αυτό να σημαίνει πως δεν υπάρχουν και αρκετές διαφοροποιήσεις. Για αυτό, προς το παρόν, περιορίζόμαστε στην κατάταξή του στα στρωματόμορφα, υποθαλάσσια, ατμιδούδρολεμπτικά, ηφαιστειογενή κοιτάσματα. Δίνουμε, τέλος, μια πρόδρομη τομή του κοιτάσματος (Σχ. 6) που θα ολοκληρώθει με την έρευνα στη θέση Μεσοβούνι. Η τελευταία θα επαληθεύσει ή απορρίψει την υπόθεση, για την ύπαρξη επιγενετικού τύπου με ταλλεύματος (stringer zone) που εκφράστηκε κατά καιρούς από μερικούς ερευνητές (π.χ. Αντ. Αγγελόπουλος, προφορική πληροφόρηση).

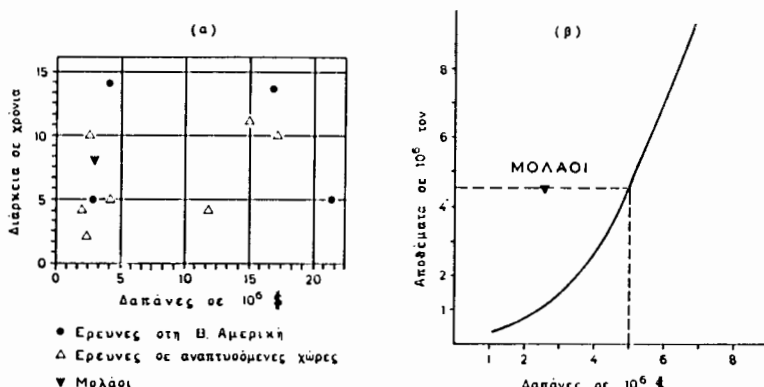


Σχ. 6 : Σχηματική τομή του κοιτάσματος Μολάων.
Fig. 6 : Schematic section of the Molai deposit.

Δ. ΟΙΚΟΝΟΜΟΤΕΧΝΙΚΑ ΣΤΟΙΧΕΙΑ

Σε πρόσφατη οικομοτεχνική προμελέτη Ομάδας Εργασίας του Ι.Γ.Η.Ε., στην οποία συμμετείχαν καλ οι συντάκτες της "ανά χείρας" δημοσίευσης, αξιολογήθηκαν όλα τα αποτελέσματα της έρευνας και δόθηκαν τα κύρια συμπεράσματα για τη δυνατότητα αξιοποίησης του κοιτάσματος.

Ο υπολογισμός των αποθεμάτων του κοιτάσματος, με τη χρήση στοιχείων από 73 γεωτρήσεις που είχαν πραγματοποιήθει μέχρι το τέλος Νοέμβρη 1984 (τις μέρες που συντάσσεται η εργασία αυτή ο αριθμός τους έφθασε στις 125), οδήγησε στην κατάταξή τους η οποία παρουσιάζεται στον Πίν. 2.



Πηγή : Ι.Γ.Μ.Ε., Οικ/τεχνικές μελ., 10, σελ. 34.

Οι πιο πιθανές μέθοδοι εκμετάλλευσης είναι η cut and fill και η under cut and fill, χωρίς να μπορεί να αποκλειστεί η μερική εφαρμογή της sub-level stoping. Η μελέτη για τη δυνατότητα εμπλουτισμού του μεταλλεύματος από εργαστηριακές δοκιμές (Γρόσσου-Βαλτά, 1984) απόδειξε, πως η καταλληλότερη μέθοδος, με σχετικά λιανοποιητικές ανακτήσεις, είναι η επίπλευση.

Οι βασικές οικονομοτεχνικές παραμέτροι για τις τρεις μεθόδους εκμετάλλευσης περιλαμβάνονται στον Πίν. 3.

Τίτλος 3

ΟΙΚΟΝΟΜΟΤΕΧΝΙΚΕΣ ΠΑΡΑΜΕΤΡΟΙ	ΜΕΘΟΔΟΙ ΕΜΕΤΑΛΛΕΥΣΗΣ		
	Cut and fill	Under cut and fill	Sub-level stoping*
Συναλλαγματικό (του)	2 860 000	2 860 000	2 860 000
Απολύτη (%)	90	90	90
Αρχαϊση (%)	10	20	20
Επίπλα δυναμοτητής παραγωγής μετάλλευμάτων	300 000	300 000	300 000
Χρόνος ποσομετακίνησης - καταδεκτηρίου περιόδου	5	5	5
Χρόνος παραγωγής περιόδου	10	11	11
Υγρός συντήρησης πενώνης (σε ώρας δύο λιτροί)	-4	-4,1	-4
Υγρός συγκρότησης πενώνης (σε σημερινές δύο λιτρού)	2,6	2,3	2,0
IRR (%) του συνολού της εκστρατείας παραρρυμάτων σε σταύρος τιμές	8,75 18 25	10,74 7 40	17,26 2 65
Πεδάντατη (%) IRR < 0 " " IRR > 15%			
IIRR % του ίδιου κεφαλαίου σε σταύρος τιμές	5,40	8,13	14,07
Με αυστηρή πορευητική μεταλλικότητα (%) τιμές	1 589 000 του	9,5	
Ακούσματα εκτίμησης			

Πηγή : ΙΓΜΕ, Οικ/τεχνικές μελ.,
10, τμήμα Πίν. 6.5.

στοις των χημικών αναλύσεων, της κατασκευής παρασκευασμάτων, το κόστος των μελετών κ.τ.λ.).

Βαθμός βεβαιότητας ύπαρξης

Ο	R1				R2
	A	B	C1	C2	
L	10%	20%	30%	50%	> 50%
K					
O					
V					
OIKONOMIKA					
R	1.985		547	330	
L	1.787		492	297	
K					
OPIAKA					
ANTIOIKONOMIKA			771		305

R : In situ αποθέματα

r: Απολήψιμα αποθέματα

Σχ. 7 : Σχέση (a) χρόνου διάρκειας ερευνών-δαπανών (κατά Wellmer, 1983), (β) εντοπισμένων αποθεμάτων-δαπανών (κατά Gocht, 1983) και η θέση των Μολάων.

Fig. 7 : Relationship between (a) time of exploration activities vs expenditure (after Wellmer, 1983), (b) located ore reserves vs expenditure (after Gocht, 1983) and the Molai position.



0 10cm Φωτ. 1



0 10cm Φωτ. 2



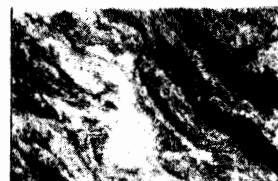
0 10cm Φωτ. 3



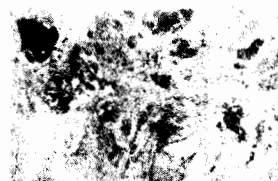
0 10cm Φωτ. 4



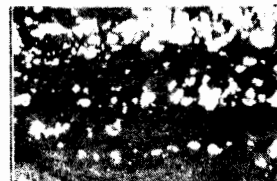
0 10cm Φωτ. 5



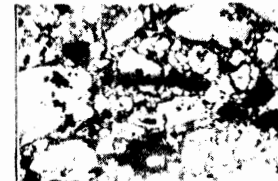
0 10cm Φωτ. 6



0 10cm Φωτ. 7



Φωτ. 8



Φωτ. 9

Φωτ. 1 : Πικανάνεα λεπτοτραχτώδη λεπτοτεχνή πετρώσιμα και τοφότες (διδυμούς λουκέλινούς κατακεκλεψίνης πικάνης 60/30) με συμμετέχοντες διάλινες λογοτελείς λοτού (βεξιδ). Θέση Δερβένη.

Φωτ. 2 : Ηρολιτελαρά λατυνοπάγη με λάδιο σφραγιδικού λοτού (μεγάλη λατύνη) και κίδατες από τόφους, τοφοτίκους μεταμηλήτες και χαλαζίαν κάλαμο. Γεωπ. ΑΝΙ5α.

Φωτ. 3 : Ισινέμπονενής πηγιατούνδος τεκτονιώδης : μετακύνηνη διάλινες κυριολεκτικού ZnS με κίδατες μητολικού τόφου (cherty tuff, λευκό), ενολιγόνων γεράδ-μαραν χαλαζίας με ZnS & FeS₂ (αριστερά) και μικροκλαστικού μεταλλεύματος από ZnS (δεξιά). Γεωπ. Β37.

Φωτ. 4 : Ισινέμπονενής πηγιατούνδος και πηγιατούνδος τεκτονιώδης μέσα σε πυρητικό τόφο (cherty tuff, λευκό) και FeS₂ (μαύρο). Γεωπ. ΑΝΙ5α.

Φωτ. 5 : Ισινέμπονενη μεταλλοφορία ZnS (λευκό) και ZnS & FeS₂ (μαύρο) μετανίτιτες αε κλαστική ZnS, FeS₂, τόφου και χαλαζία, πάνω δεξιά. Γεωπ. ΑΝΙ18.

Φωτ. 6 : Ισινέμπονενη μεταλλοφορία ZnS με χαλαζία (μαύρα και λευκά) με ουνι-χρωτανενή τεκτονιώδη (μικροπτυχές και μικροδιαμητώδεις). Γεωπ. ΑΝΙ5α.

Φωτ. 7 : Κλαστικός τύπος μεταλλοφορίας (ZnS) με ηρολιτελαράς και χαλαζια-κούς κίδατες. Γεωπ. ΑΝ23.

Φωτ. 8 : Ισιράπις FeS₂ (λευκό) και ZnS (γκρίζο, κάτω τυμάνα) // προς τα περι-γενετικά ορικά. // Νικ., 10X. Γεωπ. Β25. Φωτ. Ε. Κωνσταντίνειου-Βαρθολομαίου.

Φωτ. 9 : Κρυσταλλικός ZnS (γκρίζο) με λίγους κρυστάλλους FeS₂ (λευκό). // Νικ., 20X. Γεωπ. Β22. Φωτ. Ε. Κωνσταντίνειου-Βαρθολομαίου.

Photo 1 : Thin-bedded, folded sedimentary rocks and tuffite (axis of isoclinal recumbent fold 60°/30°) with massive and faulted volcanics (right). Location : Dherveni. Photo 2 : Volcanic breccia with lava of aphanitic texture (large breccia fragment) and clasts from tuff, tuffite, metapelite and quartzitic material. ODH ANI5a.

Photo 3 : Synsedimentary faulting:displacement of grey-yellow ZnS bed with cherty tuff (white) breccia fragments, alternating grey-black quartz with ZnS and FeS₂, (left) and microclastic ZnS ore (right). ODH B37.

Photo 4 : Synsedimentary folding and faulting within cherty tuff (white) and FeS₂ (black). ODH ANI5a.

Photo 5 : Stratiform ZnS mineralization (white) and ZnS+FeS₂ (black) grading into clastic type (breccia fragments comprising ZnS, FeS₂, tuff and quartz-upper right). ODH ANI18.

Photo 6 : Stratiform ZnS mineralization with quartz (black and white) and syn-sedimentary tectonism (microfolds and microfaults). ODH ANI5a.

Photo 7 : Brecciated mineralization (ZnS) with volcanic and quartz clasts. ODH AN23.

Photo 8 : FeS₂ bed (white) and ZnS (grey, lower part) parallel to the rock forming minerals.// Nic., 10X. ODH B25. (Photo E. Constantinidou-Vartholomeou).

Photo 9 : Fragmented ZnS (grey) with some FeS₂ crystals (white). // Nic., 20X. ODH B22. (Photo E. Constantinidou-Vartholomeou).

Ε. Η ΣΥΜΒΟΛΗ ΤΟΥ ΚΟΙΤΑΣΜΑΤΟΣ.

Όπως φαίνεται και από τα στοιχεία του Πιν. 2 οι οικονομικές παράμετροι μπορούν να βελτιωθούν σημαντικά με την αύξηση των εκμεταλλεύσιμων αποθεμάτων. Η απόδοση (IRR) π.χ. του ίδιου κεφαλαίου σε σταθερές τιμές από 5,4% μεταβάλλεται σε 9,5% με μιά αύξηση της παραγωγής μεταλλεύματος t.v. κατά 730.000 τόννους. Τονίζεται πως από τις γεωτρήσεις που έγιναν στην περίοδο από αρχές Δεκέμβρη 1984 μέχρι το τέλος του 1985, σύμφωνα με προσεγγιστικές μας εκτιμήσεις, θα αποθέματα έφθασαν στα $4.5 \cdot 10^6$ τόννους, δηλαδή αυξήθηκαν κατά $1.6 \cdot 10^6$. Μια πρόσφατη εκτίμηση για την πιθανή βελτίωση των οικονομικών παραμέτρων δείχνει πως, με βάση το αποθεματικό αυτό δυναμικό, το IRR του συνόλου της επένδυσης "προφόρων" σε αποληθωρισμένες τιμές για τη μέθοδο cut and fill μεταβάλλεται από 8,75% σε 13,05% (Ν. Δρούβας-Α. Μακρής, προφορική πληροφόρηση).

Σύγιφωνα με τα παραπάνω στοιχεία και με την προϋπόθεση ικανοποίησης των παραδοχών που έγιναν, προβλέπεται πως η παραγωγική περίοδος λειτουργίας του μεταλλεύματος θα είναι 15 χρόνια, με μια δοκιμαστική-προπαρασκευαστική περίοδο 5 χρόνων. Εκτός από την ίδρυση 500 περίπου Οέσεων εργασίας, η μεταλλευτική δραστηριότητα θα συνεισφέρει σημαντικά στη βιομηχανική και γενικότερα στην περιφερειακή ανάπτυξη μιας κύρια αγροτικής και μερικά τουριστικής περιοχής. Υπογραμμίζεται, επίσης, το συναλλαγματικό όφελος και η εγχώρια προστιθέμενη αξία.

Η μεγαλύτερη, ωστόσο, συμβολή του κοιτάσματος των Μολάων είναι άμεσα συνδεδεμένη με την ίδρυση καθετοποιημένης μεταλλευτικής βιομηχανίας πολυμεταλλικών μεταλλεύματων (Ζn-Pb-Au-Ag-Cu) που προσέκρουσε, από την πρώτη στιγμή, σε ένα σοβαρό πρόβλημα : τη διασφάλιση της τροφοδοσίας του οχεδιαζόμενου μεταλλουργικού συγκροτήματος με τα απαραίτητα συμπυκνώματα. Η τροφοδοσία από ελληνικά κοιτάσματα για μια παραγωγή 40.000 τον. Pb και 40.000 τον. Ζn το χρόνο (πρόταση METBA) μπορεί να εξασφαλιστεί : (α) με αύξηση της παραγωγής μεταλλεύματος και συμπυκνώματος από το Στρατώνι κατά 30% και από την Ολυμπιάδα κατά 200% περίπου, (β) με τη λειτουργία νέου (ων) μεταλλεύματου (ων) και εργοστασίου (ων) εμπλουτισμού (του κρατικού τομέα) και (γ) με συνδυασμό των δύο πιό πάνω λύσεων. Επειδή η (α) περίπτωση δεν διαγράφτηκε, από την αρχή, σαν πολύ ρεαλιστική, το ΙΓΜΕ προχώρησε από το 1982, σε δραστική εντατικοποίηση των ερευνητικών του εργασιών στη μεταλλοφόρο περιοχή των Μολάων όπου αποθέματα του εντοπισμού των αποθεμάτων που προαναφέραμε.

Η μεγαλύτερη, λοιπόν, σημασία του κοιτάσματος αυτού είναι η αναμενόμενη συμβολή του στην υλοποίηση της απόφασης για ίδρυση του μεταλλουργικού συγκροτήματος της METBA. Έτσι, με μιά ειήσια παραγωγή μεταλλεύματος της τάξης των 300.000 τόν. είναι δυνατή η κάλυψη από τους Μολάους των αναγκών της σχεδιαζόμενης μονάδας Ζn με ένα ποσοστό που ξεπερνά το 50% (25.000 τόννοι Ζn το χρόνο).

Το κοίτασμα, επομένως, των Μολάων, αυτή τη στιγμή, φαίνεται να κατέχει "Θέση-κλειδί" στο πρόβλημα της αυτοδύναμης τροφοδοσίας της μονάδας Ζn του συγκροτήματος της METBA από τη λύση (,), που προαναφέραμε.

Ζ. ΕΠΙΛΟΓΟΣ

Θεωρούμε πως ο πιό κατάλληλος επίλογος για μια μεταλλοφόρο περιοχή, όπου έντονη θέληση ένα κοίτασμα, είναι η με επιτημονικά κριτήρια πρόγνωση (Κωνσταντινίδης & Παπαστάυρου, 1985) για τις δυνατότητες αύξησης των αποθεμάτων ή ανεύρεσης νέων κοιτασμάτων. Έτσι, η χρήση πραγματικών κριτηρίων που προέρχονται από την έρευνα (π.χ. γεωφύσικές και γεωχημικές ανωμαλίες, ζώνες εξαλλοίωσης, χωρική κατανομή μεταλλικών και μη στοιχείων, αυξημένη παρουσία σποδιτών-τόφφων σε βάρος των λαβών, κοιτασματογενεσιούργα ρήγματα κ.α.) επέτρεψε την τεκμηριωμένη πρόγνωση για εντοπισμό και νέων μεταλλοφόρων σωμάτων που επαλθεύτηκε πλήρως. Συγκεκριμένα στις Οέσεις Φούρνος και Μεσοβούνι πρόσφατες γεωτρήσεις διάτρησαν συγκεντρώσεις Ζn-Pb-Ag, στη δεύτερη μάλιστα περίπτωση κυριαρά συμπαγές μετάλλευμα.

Η παρουσία των πιό πάνω δεικτών ύπαρξης μεταλλοφορίας ως και. ΒΔ του κοιτάσματος της "Βίγλας", επιτρέπει τη διατύπωση της άποψης πως τα προγνωτικά αποθέματα της περιοχής του Σχ.1 θα είναι της ίδιας τάξης μεγέθους με αυτά που έχουν κιόλας εντοπιστεί.

ΕΥΧΑΡΙΣΤΙΕΣ : Συγχαριστούμε τους συναδέλφους Γ. Παντελιά, Γ. Χριστάκο, Ε. Κωνσταντινίδου-Βαρύολομαίου, Η. Δρούβα, Α. Μακρή, Η. Γρόσου-Βαλτά για την πάση φύσεως βοήθεια και τις κ.χ. Γ. Μανιάτη, Β. Τριδήμα (σχεδίαση), Π. Διαβάτη και Η. Μακρή (διακτυογράφηση του κειμένου).

ΒΙΒΛΙΟΓΡΑΦΙΑ

- ΑΓΓΕΛΟΠΟΥΛΟΣ, Κ., ΚΩΝΣΤΑΝΤΙΝΙΔΗΣ, Δ., ΠΑΠΑΣΥΡΟΥ, Δ., ΠΑΠΟΥΤΣΙΔΗΣ, Ε., ΤΑΚΤΙΚΟΣ, Σ. & ΤΖΙΜΟΥΡΤΖΑΣ, Σ. 1977 : Πρόδρομος έκθεσις επί της γεωλογικής κοιτασματολογικής χαρτογραφίσεως των περιοχών Παπαδιάντκων-Φοινικέου-Αγ. Νικολάου-Βελιών υπό κλίμακα 1:20.000. ΙΓΜΕ, Αδημ. 'Έκθεση'.
- ΑΝΑΣΤΟΠΟΥΛΟΣ, Ι. & ΠΑΠΑΝΙΚΟΛΑΟΥ, Ν. 1958 : Κοιτασματολογική και γεωψυσική αναγνώριση Ν και ΗΑ Πελοποννήσου. ΙΓΕΥ, Αδημ. 'Έκθεση'.
- BRAUER, R., 1982 : Das Praneogen im Raum Molai-Talanta/SE-Lakonien (Peloponnes, Griechenland). Inaug. -Dissert.zur Erlangung des Doctorgrades. Frankfurt am Main.
- ΓΡΟΣΣΟΥ-ΒΑΛΤΑ, Μ., ΜΠΑΣΙΟΣ, Δ., ΧΑΡΑΛΑΜΠΙΔΗΣ, Π., & ΚΩΝΣΤΑΝΤΙΝΙΔΟΥ-ΒΑΡΟΟΛΟΜΑΙΟΥ, Ε. 1984 : Συμπεράσματα για τη δυνατότητα αξιοποίησης της οειδούχου μεταλλοφορίας των Μολάων από την εργαστηριακή εξέταση χαρακτηριστικών δειγμάτων. ΙΓΜΕ., Μεταλ. Έρευνες, Νο 37.
- CHRISTAKOS, G., 1980 : A computer program for the analysis and estimation of spatial functions. Intern. Report. Civil. Eng. Dept., MIT., MA.
- ΔΟΥΤΣΟΣ, Θ. & ΚΟΥΚΟΥΒΕΛΑΣ, Ι. 1985 : Δομική ανάλυση του κοιτάσματος των Μολάων. Ορυκτός Πλούτος, Νο 40, 7-16.
- ΕΞΗΝΤΑΒΕΛΩΝΗΣ, Π. & ΤΑΚΤΙΚΟΣ, Σ. 1980 : Γεωλογικός χάρτης κλίμακας 1:50.000 ψύλλου Μολάων.
- FISHER, R.V. & SCHMINCKE, H-U, 1984 : Pyroclastic rocks. Springer-Verlag.
- GOCHT, W. 1983 : Wirtschaftsgeologie und Rohstoffpolitik 1 Aufl. Springer-Verlag.
- GRUSZCZYK, H., HARANCZYK, C. & ΜΕΛΙΔΩΝΗΣ, Ν. 1970 : Περί των αποτελεσμάτων της κοιτασματολογικής αναγνωρίσεως της Πελοποννήσου. Γεωλ.αναγν.Νο 49.
- ΗΑΙΑΣ, Π. 1985 : Λιθογεωχημική έρευνα στους πυρήνες γεωτρήσεων στο κοίτασμα των Μολάων Ν. Λακωνίας. ΙΓΜΕ, Αδημ. 'Έκθεση'.
- ΚΑΛΟΓΕΡΟΠΟΥΛΟΣ, Σ., ΓΛΑΝΟΠΟΥΛΟΣ, Β. & ΗΑΙΑΣ, Π. 1984 : Χημικούς και τεκτονικούς περιβάλλοντας των βασικών ηφαστειακών πετρώματων της περιοχής Μολάων, ΝΑ Πελοπόννησος, και η σχέση του με ουμαγή οειδούχο μεταλλοφορία. ΙΓΜΕ, Αδημ. 'Έκθεση'.
- ΚΤΕΝΑΣ, Κ. 1924 : Η ανάπτυξης του Πρωτογενούς εις την Κεντρικήν Πελοπόννησον. Πρακτ. Ακαδ. Αθηνών, 1, 53-59.
- ΚΩΝΣΤΑΝΤΙΝΙΔΗΣ, Δ. & ΠΑΠΑΣΤΑΥΡΟΥ, Στ. 1985 : Σύνταξη χαρτών καθορισμού προτεραιοτήτων (προγνωστικών) στην κοιτασματολογική έρευνα. ΙΓΜΕ, Αδημ.Έκθεση'.
- ΚΩΝΣΤΑΝΤΙΝΙΔΟΥ-ΒΑΡΟΟΛΟΜΑΙΟΥ, Ε. 1984 : Ορυκτολογική μελέτη του μεταλλεύματος της περιοχής Μολάων (Ν. Λακωνίας). Συμπεράσματα για τη γένεσή του. ΙΓΜΕ, Αδημ. 'Έκθεση'.
- MEIBNER, B. 1979: Zentral und Südägäis Bruchtektonik. Ingenieurarbeit. Fr. Univ. Berlin.
- ΜΕΛΙΔΩΝΗΣ, Ν. & ΚΩΝΣΤΑΝΤΙΝΙΔΗΣ, Δ. 1979 : Η μεταλλοφορία των ηφαστειακών πετρώματων της περιοχής Απιδίτης του Ν. Λακωνίας. ΙΓΜΕ, Κοιτασμ.έρευνες, Νο 10.
- ΟΜΑΔΑ ΕΡΓΑΣΙΑΣ, 1985 : Βασικά στοιχεία και συμπεράσματα οικονομοτεχνικής προμηλέτης για τη δυνατότητα εκμετάλλευσης του κοιτάσματος συμπαγών οειδούχων μεταλλεύμάτων περιοχής Μολάων Λακωνίας. ΙΓΜΕ, Οικ/τεχνικές μελ., Νο 10.
- ΠΑΠΑΖΕΤΗ, Ε. 1984 : Πετρολογική-ορυκτολογική μελέτη των πετρώματων που φιλοξενούν τα μικτά οειδούχα μεταλλεύματα στους Μολάους Λακωνίας. ΙΓΜΕ, Αδημ. 'Έκθεση'.
- ΠΑΠΑΣΥΡΟΥ, Δ. 1984 : Έκθεση για την τεκτονική της περιοχής Βίγλα Μολάων. ΙΓΜΕ, Αδημ. 'Έκθεση'.
- PLIMER, I.R. :Submarine exhalative ores. Geol. Surv. Czech. Jesenik.
- ΣΚΑΡΠΕΛΗΣ, Ν. 1982 : Μεταλλογένεση συμπαγών οειδούχων μεταλλεύμάτων και πετρολογία της εξωτερικής μεταμορφικής ζώνης των Ελληνίδων (ΝΑ Πελοπόννησος). Διδακτορική Διατριβή Παν. Αθηνών.
- WELLMER, F.W. 1983. Neue Entwicklungen in der Exploration (I.II)- Kosten, Rezerven, Technologien. Erzmetall., 36, Νο 1.